

Поступило в редакцию 28 марта 1988 г.

УДК 681.325 : 681.787

В. А. АЛЕШИН

(Фрязино Московской обл.)

АВТОМАТИЗИРОВАННЫЙ ИЗМЕРИТЕЛЬНЫЙ КОМПЛЕКС НА БАЗЕ ГЕОФИЗИЧЕСКИХ ЛАЗЕРНЫХ ИНТЕРФЕРОМЕТРОВ-ДЕФОРМОГРАФОВ И МИКРОЭВМ

Введение. В геофизических исследованиях, наряду с деформографами механического типа [1], в последние годы применяются лазерные интерферометры-деформографы [2], которые позволяют получать ценную информацию о внутреннем строении Земли, а также используются при проведении работ по поиску предвестников землетрясений. Использование лазерных интерферометров существенно, на 1—2 порядка, повышает чувствительность деформографических измерений и расширяет полосу частот регистрируемого сигнала [2, 3]. Одновременно с расширением динамического и частотного диапазонов возрастает и объем поступающей от интерферометра информации, для эффективной обработки которой требуется ЭВМ.

В [4] сообщается о разработке автоматизированного комплекса на базе лазерных интерферометров и микроЭВМ, предназначенного для геофизических и сейсмических измерений. Там же описаны структурная схема комплекса, основные технические характеристики лазерных деформографов и некоторые предварительные результаты проведенных исследований.

В данной работе структурная схема приводится с теми изменениями, которые были внесены в процессе модернизации комплекса [4] с целью расширения его функциональных возможностей; подробно описываются алгоритмы его работы в режимах сбора и обработки данных; демонстрируются результаты применения комплекса для изучения спектрально-временных характеристик сигналов лазерных деформографов.

Структура и технические характеристики комплекса. В состав автоматизированного комплекса входят два лазерных деформографа с базами 500 и 10 м и лабораторный вычислительный комплекс МЕРА 60 на основе микроЭВМ «Электроника 60», оснащенный стандартными вспомогательными устройствами ввода-вывода (накопитель на гибких магнитных дисках НГМД, алфавитно-цифровое печатающее устройство — АЦПУ) и аппаратурой КАМАК (рис. 1). Связь интерферометров с ЭВМ осуществляется по кабельной линии через КАМАК.

Интерферометр с базой 500 м снабжен системой регистрации гетеродинного типа [5], в которой используется модуляция интерференционной картины по пилообразному закону. Вариации длины плеча интерферометра регистрируются путем измерения разности фаз опорного и информационного сигналов, а в качестве фазометра используется ревер-

сивный счетчик. Параллельно опорный и информационный сигналы поступают по кабельной линии на аналогичную схему, используя вх. модуль В1, который содержит двухканальный усилитель-ограничитель с гальваническими развязками на входе, устройство формирования импульсных последовательностей в опорном и информационном каналах и временной дискриминатор, обеспечивающий временное разделение импульсов, поступающих на входы РСЧ. Управление счетчиком и считывание с него информации производятся при выполнении соответствующей программы.

В интерферометре с базой 10 м для регистрации применяется аналоговая следящая система [3]. Выходной сигнал следящей системы, пропорциональный смещению интерферограммы, поступает по двухпроводной линии на входное устройство В2, обеспечивающее прием аналогового сигнала в динамическом диапазоне ± 10 В и подавление синфазной помехи не менее 60 дБ. На вход аналого-цифрового преобразователя АЦП (АЦП-14, диапазон входного сигнала ± 7 В, время преобразования 2 мс) сигнал поступает через модуль фильтров низкой частоты (ФНЧ), содержащий набор переключаемых ФНЧ с частотами среза 1, 35, 60, 120 Гц, а также три режекторных фильтра, настроенных на частоту сети 50 Гц и ее гармоники 100 и 150 Гц.

С целью расширения возможностей комплекса для записи и хранения больших объемов информации в его состав введен накопитель на магнитной ленте (НМЛ) ИЗОТ 5003, обеспечивающий запись до 3,5 Мбайт информации.

Для повышения быстродействия процессора микроЭВМ «Электроника 60» используется устройство автономной регенерации [6] оперативного запоминающего устройства (ОЗУ) динамического типа. Полный объем используемого ОЗУ для данной конфигурации микроЭВМ составляет 56 Кбайт.

Дополнительно в состав комплекса введен драйвер цветного телевизора [7] (модуль ДЦТ на рис. 1) для отображения на его экране графической информации.

Программное обеспечение и алгоритмы работы комплекса. Для управления работой комплекса разработано программное обеспечение, в которое включены программы, позволяющие проводить сбор данных лазерных деформографов, их оперативную спектрально-временную обработку, а также ряд сервисных программ. Программы и подпрограммы, написанные на языках Фортран-4 и Макроассемблер, выполняются под управлением операционной системы РАФОС-2 [8] и хранятся на магнитном диске в виде отдельных программных модулей.

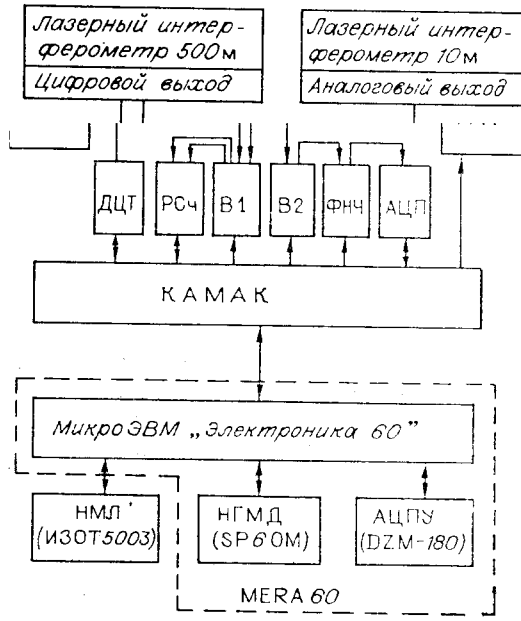


Рис. 1

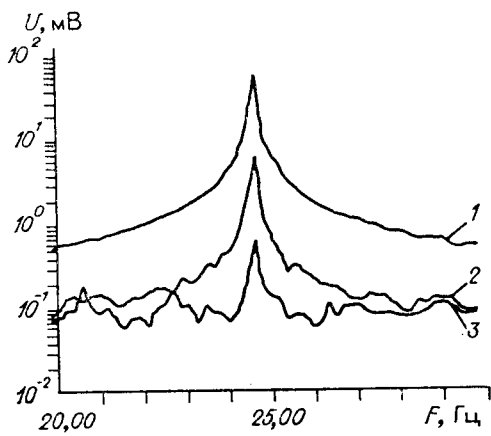


Рис. 2

При построении графиков на графопостроителе ГРП (см. рис. 1) использовались программы и графическая библиотека, описанные в [9]. Программы сбора данных позволяют проводить измерения на обоих интерферометрах одновременно. При этом результаты измерений в виде цифрового кода с частотой дискретизации F_d записываются в буфер, отведенный в ОЗУ микроЭВМ, который после заполнения переписывается на какое-либо из внешних запоминающих устройств (НМЛ, НГМД). Максимальный размер буфера при данной конфигурации не превышает 40 Кбайт. Получение непрерывного во времени ряда данных большего объема обеспечивает программа, построенная по принципу двойной буферизации, которая позволяет осуществить непрерывную запись на магнитной ленте массива данных до 3,5 Мбайт. Частота F_d устанавливалась в зависимости от условий эксперимента в диапазоне 3,1—312,5 Гц.

С целью повышения точности измерений при использовании системы регистрации на базе реверсивного счетчика разработан алгоритм предварительной обработки сигнала, в соответствии с которым в интервале между соседними выборками производится максимально возможное количество отсчетов данных РСч и их суммирование на всем интервале $T_d = 1/F_d$. Быстродействие ЭВМ с платой автономной регенерации ОЗУ позволяет при $F_d = 312,5$ Гц ($T_d = 3,2$ мс) произвести суммирование по $n = 30$ отсчетам показаний счетчика, что приводит к снижению дискретности отсчета интерферометра до 0,03 мкм. К тому же этот метод позволяет осуществить низкочастотную фильтрацию за счет интегрирования сигнала и тем самым существенно снизить вероятность появления ложных частот подмены [10] в спектре исследуемого сигнала. При приеме аналоговых сигналов для этого служит набор ФНЧ.

Вычисление спектра сигнала выполняется с использованием алгоритма быстрого преобразования Фурье (БПФ). Перед спектральной обработкой данные могут подвергаться редактированию с целью устранения случайных выбросов и разрывов, обусловленных аппаратурными сбоями.

Программа спектральной обработки позволяет исследовать временные последовательности, полученные путем деления массива данных на равные секции (реализации) длиной $N = 2^n$ ($n = 8—12$). В программе предусмотрены возможности удаления постоянной составляющей, а также линейного и параболического трендов из массива данных перед процедурой БПФ и усреднения спектра по заданному числу реализаций $M \geq 2$. Кроме того, для ослабления эффектов секционирования может применяться слаживающее косинусное окно [10]. Результаты вычислений фиксируются на внешних устройствах и могут быть представлены в виде таблиц и графиков.

Применение комплекса для исследования микросейсмических деформаций в диапазоне частот 0,1—150 Гц. С помощью автоматизированного комплекса получены амплитудные спектры калибровочных сигналов (рис. 2) на частоте 25 Гц. Регистрировались сигналы с относительными амплитудами $8 \cdot 10^{-10}$ (1), $8 \cdot 10^{-11}$ (2) и $8 \cdot 10^{-12}$ (3). Минимальная амплитуда спектральных пиков, выделяемых на фоне помех, в диапазоне частот 20—30 Гц порядка 10^{-12} . Уровень помех на частотах штормовых микросейсм 0,1—0,3 Гц примерно на порядок выше, поэтому ми-

нимальная амплитуда деформаций, регистрируемая нашими инструментами в этом диапазоне, находится в пределах 10^{-10} — 10^{-11} .

Эффективным средством выделения и исследования спектральных компонент сигналов, регистрируемых на выходе лазерного деформографа, является метод спектрально-временного анализа [11]. Для реализации метода используется программа, обеспечивающая ввод данных непосредственно от деформографа, вычисление спектров с применением алгоритма БПФ и вывод заданного количества спектральных компонент в виде полутонового изображения на движущейся бумажной ленте АЦПУ, причем одновременно можно выводить на печать до 128 гармоник спектра. Время одного прохода программы при вычислении спектра (без усреднения, $M = 1$) для $N = 2^{10}$ и вывода его на печать порядка 60 с. Имеются версии программы, которые позволяют обрабатывать данные, записанные на диске или магнитной ленте. При исследовании сигналов лазерных деформографов с помощью автоматизированного комплекса был выделен ряд спектральных пиков на частотах $F_k = 50/k$ Гц, $k = 1, 2, \dots, 16$, которые сопоставимы со скоростями вращения роторов наиболее мощных электрических синхронных машин [12].

Заключение. Автоматизированный измерительный комплекс позволяет принимать, фиксировать и обрабатывать сигналы одновременно от двух геофизических лазерных деформографов.

Комплекс дает возможность проводить оперативную спектральную обработку сигналов лазерных деформографов в диапазоне частот 0,1—150 Гц.

Применение метода спектрально-временного анализа эффективно при изучении микросейсмических сигналов, источником которых могут являться мощные синхронные машины и другие промышленные установки.

СПИСОК ЛИТЕРАТУРЫ

1. Латынина Л. А., Кармалеева Р. М. Деформографические измерения.— М.: Наука, 1978.
2. Бергер Д. Применение лазерной техники в геодезии и геофизике.— М.: Недра, 1977.
3. Алешин В. А., Дубров М. Н., Яковлев А. П. Лазерный интерферометр для измерения деформаций земной коры // ДАН СССР.— 1980.— 253, № 6.
4. Алешин В. А., Дубров М. Н., Иванов В. В. и др. Автоматизированные лазерные интерферометры для сейсмических измерений // Сейсмометры, регистраторы, сейсмометрические капалы (сейсмические приборы).— М.: Наука, 1986.— Вып. 18.
5. А. с. 896392 СССР. Система регистрации перемещений в оптико-электронных измерительных устройствах с интерференционной модуляцией/В. А. Аленин, М. Н. Дубров.— Опубл. 82. Бюл. № 1.
6. Аленин В. А., Стрельников В. Н. Устройство для автономной регенерации дипамической памяти в платах П1, П2, П3 микроЭВМ «Электрошка 60» // Электрон. пром.-сть.— 1985.— Вып. 9(147).
7. Семенов Ю. Б., Челноков Л. П., Портне Р. Драйвер цветного телевизора.— Дубна, 1981.— (Препр./Объед. ин-т ядер. исслед.; 3-81-271).
8. Валикова Л. И., Вигдорчик Г. В., Воробьев А. Ю., Лукин А. А. Операционная система СМ ЭВМ РАФОС.— М.: Финансы и статистика, 1984.
9. Петрова Л. Г., Элбакидзе А. В. Опыт применения малых ЭВМ для экспериментальных исследований.— М., 1982.— (Препр./АН СССР. ИРЭ; 1(322)).
10. Отнес Р., Эноксон Л. Прикладной анализ временных рядов.— М.: Мир, 1982.
11. Дубров М. Н., Алешин В. А., Яковлев А. П. О связи высокочастотных микросейсмических деформаций с напряженным состоянием литосфера // ДАН СССР.— 1987.— 293, № 5.
12. Иванов-Смоленский А. В. Электрические машины.— М.: Энергия, 1980.

Поступило в редакцию 29 февраля 1988 г.